



INSTYTUT ŁĄCZNOŚCI
PAŃSTWOWY INSTYTUT BADAWCZY

LABORATORIUM BADAŃ EMC

UL. SWOJCZYCKA 38, 51-501 WROCLAW

T: (+48) 71 3699 824 F: (+48) 71 3728 878 E-mail: lb-emc@itl.waw.pl
www.itl.waw.pl/laboratorium-badan-emc

Sprawozdanie nr 0110101018/RLAN_SZC01

SPRAWOZDANIE Z BADAŃ

poziomów natężenia pola elektrycznego wytwarzanego
przez punkty dostępowe sieci RLAN,
wykonanych w ramach umowy nr 1/DT/2018 z dnia 21 maja 2018 r.

WROCLAW

2018

SPRAWOZDANIE Z BADAŃ

Nr 0110101018/RLAN_SZC01

1. Laboratorium prowadzące badania

Instytut Łączności – PIB, Laboratorium Badań EMC (LB-EMC), ul. Swojczycka 38, 51-501 Wrocław, Polska. tel.: +48 71 36 99 824 faks: +48 71 37 28 878 e-mail: lb-emc@itl.waw.pl
--

2. Zleceniodawca badań

Ministerstwo Cyfryzacji, ul. Królewska 27, 00-060 Warszawa, Polska.
--

Umowa:	nr 1/DT z dnia 21 maja 2018 r.
--------	--------------------------------

3. Przedmiot badań

Nazwa:	Sieć punktów dostępowych RLAN zlokalizowana w budynku III Liceum Ogólnokształcącego w Szczecinie, ul. Pomorska 150, 70-812 Szczecin.
--------	--

4. Cel badań

Badania zgodności z wymaganiami określonymi w Rozporządzeniu Ministra Środowiska z dnia 30 października 2003 r. w sprawie dopuszczalnych poziomów pól elektromagnetycznych w środowisku oraz sposobów sprawdzania dotrzymania tych poziomów (Dz. U. 2003, Nr 192, poz. 1883).

5. Normy i wymagania

- Rozporządzenie Ministra Środowiska z dnia 30 października 2003 r. w sprawie dopuszczalnych poziomów pól elektromagnetycznych w środowisku oraz sposobów sprawdzania dotrzymania tych poziomów. (Dz. U. 2003, nr 192, poz. 1883)
- PN-EN 62232:2018. Wyznaczanie natężenia pola RF, gęstości mocy i SAR w otoczeniu radiokomunikacyjnych stacji bazowych dla oceny poziomu ekspozycji człowieka. (EN 62232:2017, IDT)
- PN-EN 50413:2009 +A1:2014. Norma podstawowa w zakresie metod pomiarów i obliczeń ekspozycji ludzi w polach elektrycznych, magnetycznych i elektromagnetycznych (0 Hz-300 GHz). (EN 50413:2008 +A1:2013, IDT)

- d) PN-EN 62311:2010. Ocena urządzeń elektronicznych i elektrycznych w odniesieniu do ograniczeń ekspozycji ludności w polach elektromagnetycznych (0 Hz-300 GHz). (EN 62311:2008, IDT)
- e) ECC/DEC/(04)08. ECC Decision of 09 July 2004 on the harmonised use of the 5 GHz frequency bands for the implementation of Wireless Access Systems including Radio Local Area Networks (WAS/RLANs).
- f) IEEE Std. 802.11-2012: IEEE Standard for Information Technology – Telecommunications and information exchange between systems – Local and metropolitan area networks – Specific requirements. Part 11: Wireless LAN Medium Access Control (MAC) and Physical Layer (PHY) Specifications.

6. Okres prowadzenia badań

Pomiary rozpoczęto:..... 26.09.2018 r.

Pomiary zakończono: 26.09.2018 r.

Analizę wyników pomiarów zakończono: 12.12.2018 r.

7. Miejsce badań

III Liceum Ogólnokształcącego w Szczecinie.

Adres: ul. Pomorska 150, 70-812 Szczecin.

8. Prowadzący badania

mgr inż. Tomasz Górdziałek,

mgr inż. Joanna Kalina,

inż. Jagoda Wierzbicka.

9. Dokumentacja badanej sieci RLAN

Dokumentacja uzyskana ze stron internetowych producenta punktów dostępowych:

- a. AX411 Wireless LAN Access Point. Data Sheet.  juniper-ax411-access-point-datasheet.pdf

10. Opis punktów dostępowych sieci RLAN

W budynku Liceum Ogólnokształcącego punkty dostępowe sieci RLAN są zainstalowane w salach i na korytarzu. Punkty dostępowe RLAN pracują 24 h/dobę. Na podstawie dokumentacji fotograficznej ustalono, że w sieci są wykorzystywane cztery punkty dostępowe:

- Model: AX411 (przyjęte oznakowanie: I ÷ IV, por. p. C w Załączniku nr 1)
 - producent: Juniper;
 - wykonanie: zgodne z normą IEEE 802.11 a/b/g/n;

- zakresy częstotliwości i deklarowana moc nadajnika:
 - od 2400 MHz do 2483,5 MHz, $P_{e.i.r.p.} \leq 20,0$ dBm (100 mW);
 - od 5150 MHz do 5350 MHz, $P_{e.i.r.p.} \leq 16,0$ dBm (40 mW);
 - od 5470 MHz do 5725 MHz, $P_{e.i.r.p.} \leq 16,0$ dBm (40 mW).

11. Program badań

W celu sprawdzenia zgodności z rozporządzeniem Ministra Środowiska z dnia 30 października 2003 r. w sprawie dopuszczalnych poziomów pól elektromagnetycznych w środowisku oraz sposobów sprawdzania dotrzymania tych poziomów (Dz. U. 2003. nr 192, poz. 1883), wykonano pomiary natężenia pola elektrycznego wytwarzanego przez punkty dostępowe sieci RLAN w paśmie częstotliwości 2,4 GHz oraz 5 GHz, w pionach pomiarowych na wysokości od 30 cm do 200 cm. Lokalizacje pionów pomiarowych na korytarzach i salach przedstawiono na Rys. 1a ÷ Rys. 1c, w Załączniku nr 1.

12. Metoda i wyniki badań

Zgodnie z regulacjami obowiązującymi w UE mogą być używane urządzenia RLAN o następujących parametrach:

- w zakresie częstotliwości nadajnika i odbiornika od 2400 MHz do 2483,5 MHz, z równoważną mocą promieniowaną izotropowo (e.i.r.p.): $\leq 20,0$ dBm (100 mW)^{/*}; bez ograniczeń dotyczących miejsca instalacji wewnątrz lub na zewnątrz pomieszczeń.^{/**}
- w zakresie częstotliwości nadajnika i odbiornika od 5150 MHz do 5350 MHz, z równoważną mocą promieniowaną izotropowo (e.i.r.p.): $\leq 23,0$ dBm (200 mW)^{/*}; dopuszczalne stosowanie wyłącznie wewnątrz pomieszczeń.^{/**}
- w zakresie częstotliwości nadajnika i odbiornika od 5470 MHz do 5725 MHz z równoważną mocą promieniowaną izotropowo (e.i.r.p.): $\leq 30,0$ dBm (1 W)^{/*}; dopuszczalne stosowanie zarówno wewnątrz, jak również na zewnątrz pomieszczeń.^{/**}

^{/*} Maksymalna moc emisji nadajnika (moc w czasie "burst").

^{/**} Zgodnie z Decyzją ECC/DEC/(04)08 z dnia. 9.07.2004 r. z późn. zmianami.

Urządzenia RLAN wykorzystują kanały radiowe do nadawania i odbioru w trybie z podziałem czasu (TDD). Punkt dostępowy RLAN, nadaje zawsze w regularnych odstępach czasu ramkę sygnału identyfikującego sieć (beacon frame), niezależnie czy jest, czy nie jest, w trakcie sesji komunikacji danych z terminalem/terminalami. Po tym sygnale mogą być nadawane dane do terminali, następnie odbierane dane z terminali. Współczynnik wypełnienia emisji definiowany jako stosunek czasu nadawania (T_{TX}) do okresu powtarzania ramki sygnału identyfikacji (T_{BEACON}), a więc także średnia moc emisji, zmienia się zależnie od aktualnych potrzeb sieci. Jednakże moc średnia emisji punktu dostępowego, niezależnie od obsługiwanego ruchu jest zawsze mniejsza od szczytowej mocy emisji zmierzonej podczas ramki sygnału identyfikacji sieci. Zatem wyniki pomiaru określone na podstawie mocy sygnału identyfikującego sieć są zawsze przyjmowane z nadmiarem.

Zgodnie z Tabelą 2 w Rozporządzeniu Ministra Środowiska z 30.10.2003 r. w sprawie dopuszczalnych poziomów pól elektromagnetycznych w środowisku oraz sposobów sprawdzania dotrzymania tych poziomów, w zakresie częstotliwości od 300 MHz do 300 GHz parametrem charakteryzującym pole elektromagnetyczne może być wartość

natężenia pola elektrycznego (E), albo gęstość mocy pola elektromagnetycznego (S). W niniejszym sprawozdaniu jako parametr charakteryzujący pole elektromagnetyczne o częstotliwościach wytwarzanych przez punkty dostępowe sieci RLAN (por. p. 12.1) przyjęto wartość skuteczną natężenia pola elektrycznego E [V/m] obliczaną zgodnie z formułą:

$$E = \sqrt{E_1^2 + E_2^2 + E_3^2},$$

gdzie: E_1 , E_2 , E_3 są zmierzonymi wartościami skutecznymi składowych pola elektrycznego w danej lokalizacji dla zakresów częstotliwości wymienionych w p. 12.1.

Wartość graniczna natężenia pola elektrycznego określona w rozporządzeniu Ministra Środowiska wynosi 7 V/m.

Zgodnie z metodyką opisaną w ww. Rozporządzeniu w wybranych lokalizacjach pomiary wykonano przemieszczając antenę przyrządu pomiarowego wzdłuż linii pionowej (w pionach pomiarowych) na wysokościach od 0,3 m do 2 m nad powierzchnią ziemi albo inną powierzchnią, na której mogą przebywać ludzie, przyjmując i notując jako wyniki pomiarów w danej lokalizacji maksymalne poziomy poszczególnych, zidentyfikowanych składowych pola elektrycznego.

Wszystkie pomiary natężenia wykonano za pomocą selektywnego miernika promieniowania (Selective Radiation Meter) firmy Narda Safety Solutions GmbH model SRM-3006, wyposażonego w izotropową antenę do pomiaru składowej pola elektrycznego model 3502/01.

Nastawy miernika SRM-3006 zastosowane do pomiaru pola wytwarzanego przez punkty dostępowe sieci RLAN opisano w p. 12.1. Metodę oszacowania niepewności pomiaru opisano w p. 12.2.

12.1. Punkty dostępowe sieci RLAN

Przyjęte granice zakresów częstotliwości przeznaczonych dla punktów dostępowych sieci RLAN podano w Tabeli 1.

Tabela 1: Zakresy częstotliwości przeznaczone dla punktów dostępowych sieci RLAN

Lp.	F_{\min}	F_{\max}
	[MHz]	[MHz]
1.	2400,0	2483,5
2.	5150,0	5350,0
3.	5470,0	5725,0

Nastawy miernika model SRM-3006 do pomiarów natężenia pola:

Wykorzystano domniemane nastawy miernika wynikające z przyjętych do badań zakresów częstotliwości.

12.2. Oszacowanie niepewności pomiaru

Metodę oszacowania niepewności pomiaru wykonanego za pomocą stosowanego przyrządu firmy Narda składającego się z:

- selektywnego miernika natężenia pola model SRM-3006;
- izotropowej anteny pomiarowej do pomiaru składowej pola elektrycznego model 3502/01;

przedstawiono w Tabeli 2 oraz Tabeli 3. Oszacowane wartości rozszerzonej niepewności pomiaru wyrażone w [%] przedstawiono w Tabeli 4.

Tabela 2: Oszacowanie górnej granicy niepewności pomiaru

Źródło niepewności	Odniesienie	Wartość A [dB]	Rozkład	Dzielnik B	Niepewność standardowa $u = A/B$	u^2
Wyposażenie pomiarowe						
Temperatura i wilgotność powietrza	Dokumentacja przyrządu	0,5	prostokątny	1,73	0,29	0,08
Szum tła	Eksperyment	0,5	normalny	2	0,25	0,06
Wzorcowanie	Świadectwo wzorcowania przyrządu	1,2	normalny	2	0,61	0,37
Kombinowana dla przyrządu pomiarowego z anteną	Dokumentacja przyrządu 2000 MHz < F < 4000 MHz	+2,0	normalny	2	1,00	1,00
	Dokumentacja przyrządu 5000 MHz < F < 6000 MHz	+2,9	normalny	2	1,45	2,10
Metoda badania						
Wpływ osoby wykonującej pomiar	Eksperyment	0,5	prostokątny	1,73	0,29	0,08
Błąd odczytu wskazania przyrządu pomiarowego	Przyrząd z wyświetlaczem cyfrowym	0,0	trójkątny	2,45	0,0	0,0
Otoczenie						
Zaburzenie pomiaru przez np. duże obiekty przemieszczające się	Brak dużych przemieszczających się obiektów	0,0	prostokątny	1,73	0,0	0,0
Uśrednianie przestrzenne	Pomiar wartości maksymalnej	0,0	prostokątny	1,73	0,0	0,0
Kombinowana niepewność pomiaru u_c [dB]			Dla 2000 MHz < F < 4000 MHz			+1,26
			Dla 5000 MHz < F < 6000 MHz			+1,64
Współczynnik rozszerzenia k dla poziomu ufności 95%						1,96
Rozszerzona niepewność pomiaru $U = k \times u_c$ [dB]			Dla 2000 MHz < F < 4000 MHz			+2,5
			Dla 5000 MHz < F < 6000 MHz			+3,2

Tabela 3: Oszacowanie dolnej granicy niepewności pomiaru

Źródło niepewności	Odniesienie	Wartość A [dB]	Rozkład	Dzielnik B	Niepewność standardowa $u = A/B$	u^2
Wyposażenie pomiarowe						
Temperatura i wilgotność powietrza	Dokumentacja przyrządu	0,5	prostokątny	1,73	0,29	0,08
Szum tła	Eksperyment	0,5	normalny	2	0,25	0,06
Wzorcowanie	Świadectwo wzorcowania przyrządu	1,2	normalny	2	0,61	0,37
Kombinowana dla przyrządu pomiarowego z anteną	Dokumentacja przyrządu 2000 MHz < F < 4000 MHz	-2,6	normalny	2	1,30	1,69
	Dokumentacja przyrządu 5000 MHz < F < 6000 MHz	-4,3	normalny	2	2,15	4,62
Metoda badania						
Wpływ osoby wykonującej pomiar	Eksperyment	0,5	prostokątny	1,73	0,29	0,08
Błąd odczytu wskazania przyrządu pomiarowego	Przyrząd z wyświetlaczem cyfrowym	0,0	trójkątny	2,45	0,0	0,0
Otoczenie						
Zaburzenie pomiaru przez np. duże obiekty przemieszczające się	Brak dużych przemieszczających się obiektów	0,0	prostokątny	1,73	0,0	0,0
Uśrednianie przestrzenne	Pomiar wartości maksymalnej	0,0	prostokątny	1,73	0,0	0,0
Kombinowana niepewność pomiaru u_c [dB]			Dla 2000 MHz < F < 4000 MHz		-1,51	
			Dla 5000 MHz < F < 6000 MHz		-2,29	
Współczynnik rozszerzenia k dla poziomu ufności 95%						1,96
Rozszerzona niepewność pomiaru $U = k \times u_c$ [dB]			Dla 2000 MHz < F < 4000 MHz		-3,0	
			Dla 5000 MHz < F < 6000 MHz		-4,5	

Tabela 4: Oszacowane wartości rozszerzonej niepewności pomiarów

Zakres częstotliwości	Rozszerzona niepewność pomiaru			
	+U [dB]	-U [dB]	+U [%]	-U [%]
2000 MHz < F < 4000 MHz	+2,5	-3,0	+33,0	-28,9
5000 MHz < F < 6000 MHz	+3,2	-4,5	+44,9	-40,3

Wyniki pomiarów natężenia pól elektromagnetycznych w otoczeniu punktów dostępowych sieci RLAN przedstawiono w Załączniku nr 1, który jest integralną częścią niniejszego sprawozdania. Wyniki te dotyczą sytuacji aktualnej w dniu przeprowadzenia pomiarów.

13. Wykaz aparatury pomiarowej

Wykaz aparatury pomiarowej stosowanej w badaniach podano w Tabeli 5.

Tabela 5: Wykaz aparatury pomiarowej

Lp.	Nazwa	Model	Numer	Producent	Aktualne świadectwo wzorcowania
1.	Termohigrometr	D3121	06910142	COMET	Tak
2a.	Selektywny miernik natężenia pola	SRM-3006	O-0024	Narda Safety Test Solutions GmbH	Tak
2b.	Izotropowa antena pomiarowa składowej pola elektrycznego	3502/01	G-0162		


14. Podsumowanie przeprowadzonych badań


Biorąc pod uwagę:

- wymagania, określone w rozporządzeniu Ministra Środowiska z dnia 30 października 2003 r. w sprawie dopuszczalnych poziomów pól elektromagnetycznych w środowisku oraz sposobów sprawdzania dotrzymania tych poziomów w miejscach dostępnych dla ludności (Dz. U. 2003, nr 192, poz. 1883);
- wyniki badań poziomów pól elektromagnetycznych wykonanych w punktach pomiarowych przedstawionych na Rys. 1a ÷ Rys. 1c w Załączniku nr 1 do niniejszego sprawozdania;
stwierdza się, że w otoczeniu punktów dostępowych sieci RLAN, zlokalizowanej w budynku III Liceum Ogólnokształcącego w Szczecinie:
 - a) zmierzone, w trakcie pomiarów selektywnych częstotliwościowo, maksymalne wartości natężenia pola elektrycznego we wszystkich 17 z 17 punktów pomiarowych, nie przekraczają wartości granicznej 7 V/m ustalonej w ww. rozporządzeniu Ministra Środowiska;
 - b) obliczone, na podstawie wyników pomiarów selektywnych częstotliwościowo, wartości średniokwadratowe natężenia pola elektrycznego z uwzględnieniem oszacowanej rozszerzonej niepewności pomiaru (przedział ufności 95%), we wszystkich 17 z 17 punktów pomiarowych, nie przekraczają wartości granicznej 7 V/m ustalonej w ww. rozporządzeniu Ministra Środowiska.


Badania wykonali:

mgr inż. Tomasz Górdziałek 

mgr inż. Joanna Kalina 


inż. Jagoda Wierzbicka 

Sprawozdanie sporządziła:

mgr inż. Joanna Kalina 

Sprawdził i zatwierdził:

Kierownik Laboratorium Badań EMC
odpowiedzialny za techniczną prawomocność sprawozdania

mgr inż. Marek Michalak 

- | |
|---|
| <ol style="list-style-type: none">1. Integralną częścią niniejszego sprawozdania są Załączniki: nr 1, nr 2.2. Niniejsze sprawozdanie może być powielane wyłącznie w całości. Fragmentaryczne kopiowanie tego dokumentu wymaga pisemnej zgody Laboratorium Badań EMC Instytutu Łączności i wyraźnego stwierdzenia, że jest to część sprawozdania z badań.3. Wyniki pomiarów przedstawione w sprawozdaniu odnoszą się do sytuacji aktualnej w dniu wykonania badań. |
|---|

ZAŁĄCZNIKI DO SPRAWOZDANIA Z BADAŃ

Nr 0110101018/RLAN_SZC01

str.:

- Załącznik nr 1: Wyniki badań natężenia pola elektrycznego o częstotliwości radiowej wytwarzanego przez punkty dostępowe sieci RLAN 11
- Załącznik nr 2: Fotografia punktów dostępowych badanej sieci RLAN 17

ZAŁĄCZNIK NR 1

Wyniki badań natężenia pola elektrycznego o częstotliwości radiowej wytwarzanego przez punkty dostępowe sieci RLAN

A. Przedmiot i miejsce badań

Badano: Natężenie pola elektrycznego o częstotliwości radiowej wytwarzane przez punkty dostępowe sieci RLAN.

Badania wykonano w pionach pomiarowych na korytarzu i w salach (por. Rys. 1a ÷ Rys. 1c).

B. Warunki badań

Pomiary w punktach wyznaczonych na korytarzu i w salach, wykonano w następujących warunkach:

Temperatura	+20°C ±2°C
Wilgotność względna	43% ±5%

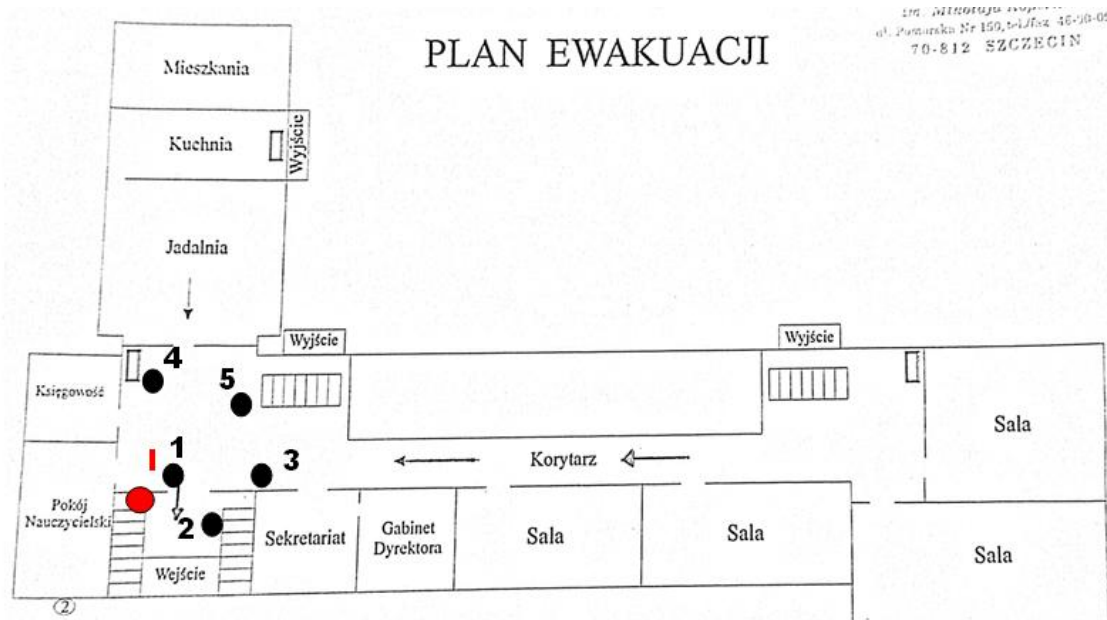
Pomiary natężenia pola elektrycznego w otoczeniu punktów dostępowych sieci RLAN wykonano w pionach pomiarowych na wysokości od 30 cm do 200 cm stosując procedurę opisaną w p. 12.

Zgodnie z Rozporządzeniem Ministra Środowiska z dnia 30 października 2003 r. wartości natężenia pola elektrycznego, wyrażone w V/m, zaokrąglono do jednego miejsca po przecinku.

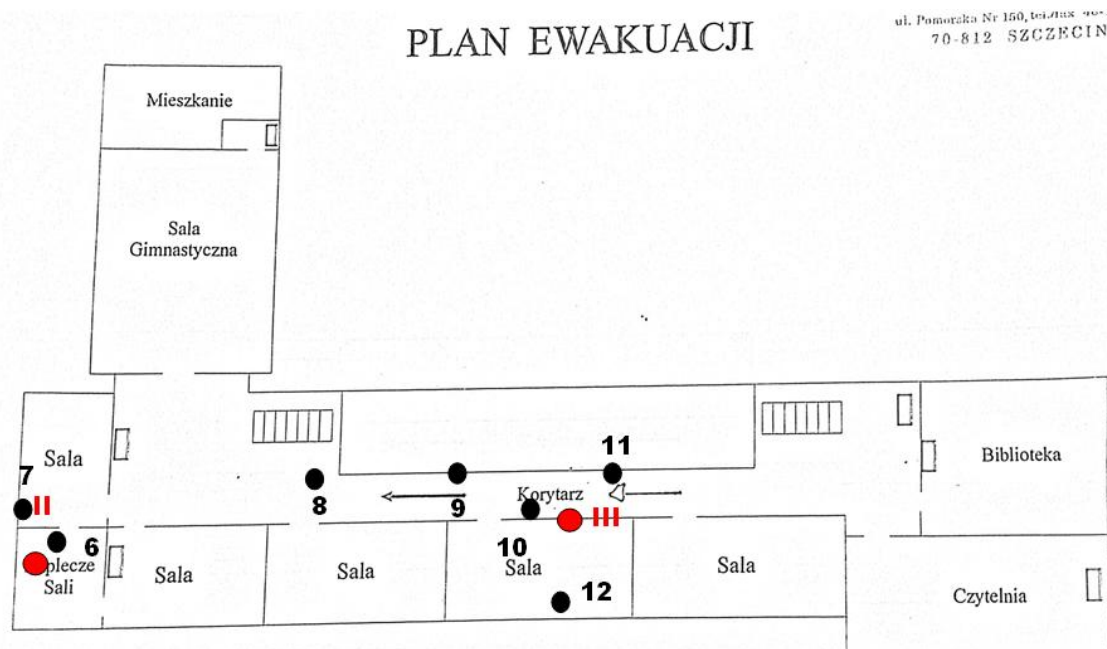
W niniejszym sprawozdaniu niepewność wyników pomiaru podano w postaci niepewności rozszerzonej ($k = 1,96$), której odpowiada poziom ufności 95%.

C. Badany obiekt

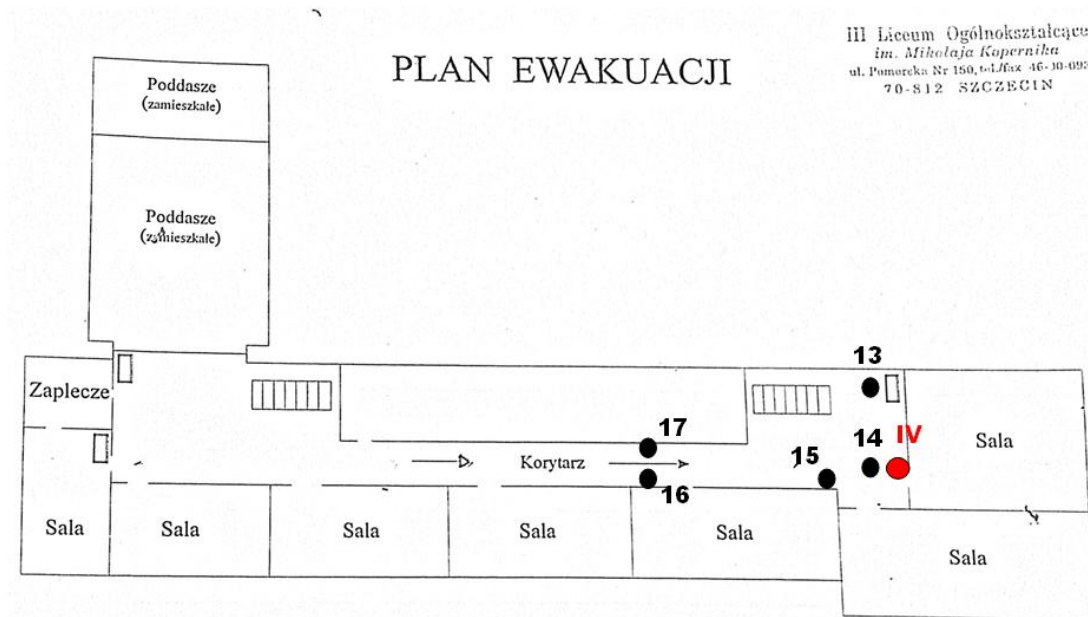
Lokalizacje punktów pomiarowych przedstawiono na Rys. 1a ÷ Rys. 1c.



Rys. 1a: Plan rozmieszczenia punktów pomiarowych – parter, kolorem czerwonym oznaczono lokalizację punktów dostępnych



Rys. 1b: Plan rozmieszczenia punktów pomiarowych – I piętro, kolorem czerwonym oznaczono lokalizację punktów dostępnych



Rys. 1c: Plan rozmieszczenia punktów pomiarowych – II piętro,
kolorem czerwonym oznaczono lokalizację punktów dostępnych

Legenda:

1 ÷ 17 – punkty pomiarowe;

I ÷ IV – punkty dostępne model AX411 (por. opis w p. 10).

D. Wyniki badań

D.1 Szczegółowe wartości natężenia pól elektrycznych, w pionach pomiarowych na wysokości od 30 cm do 200 cm, pomiary selektywne częstotliwościowo w otoczeniu punktów dostępowych sieci RLAN

W Tabeli D.1 przedstawiono wartości natężenia pól elektrycznych E_{zm} zmierzone selektywnie częstotliwościowo oraz odpowiednie wartości obliczone z uwzględnieniem niepewności pomiaru $E-U\%$ oraz $E+U\%$ w punktach od 1 do 17 przedstawionych na Rys. 1a ÷ Rys. 1c.

Tabela D.1: Zestawienie wyników pomiarów natężenia pól elektrycznych, pomiary selektywne częstotliwościowo w otoczeniu punktów dostępowych sieci RLAN

1	2	3	4	5	6	7	8
Lok.	F_1	F_2	Wykorzystanie częstotliwości	E_{zm}	E	E+U%	E-U%
	[MHz]	[MHz]		[V/m]	[V/m]	[V/m]	[V/m]
1. /*	2400,0	2483,5	RLAN	1,6	1,6	2,1	1,1
	5150,0	5350,0	RLAN	< 0,1	0,0	0,0	0,0
	5470,0	5725,0	RLAN	< 0,1	0,0	0,0	0,0
Wartość średniokwadratowa natężenia pola elektrycznego					1,6	2,1	1,1
2.	2400,0	2483,5	RLAN	0,3	0,3	0,4	0,2
	5150,0	5350,0	RLAN	< 0,1	0,0	0,0	0,0
	5470,0	5725,0	RLAN	< 0,1	0,0	0,0	0,0
Wartość średniokwadratowa natężenia pola elektrycznego					0,3	0,4	0,2
3.	2400,0	2483,5	RLAN	0,5	0,5	0,7	0,4
	5150,0	5350,0	RLAN	< 0,1	0,0	0,0	0,0
	5470,0	5725,0	RLAN	< 0,1	0,0	0,0	0,0
Wartość średniokwadratowa natężenia pola elektrycznego					0,5	0,7	0,4
4. /*	2400,0	2483,5	RLAN	0,2	0,2	0,3	0,1
	5150,0	5350,0	RLAN	< 0,1	0,0	0,0	0,0
	5470,0	5725,0	RLAN	< 0,1	0,0	0,0	0,0
Wartość średniokwadratowa natężenia pola elektrycznego					0,2	0,3	0,1
5.	2400,0	2483,5	RLAN	1,0	1,0	1,3	0,7
	5150,0	5350,0	RLAN	< 0,1	0,0	0,0	0,0
	5470,0	5725,0	RLAN	< 0,1	0,0	0,0	0,0
Wartość średniokwadratowa natężenia pola elektrycznego					1,0	1,3	0,7
6.	2400,0	2483,5	RLAN	1,0	1,0	1,3	0,7
	5150,0	5350,0	RLAN	< 0,1	0,0	0,0	0,0
	5470,0	5725,0	RLAN	< 0,1	0,0	0,0	0,0
Wartość średniokwadratowa natężenia pola elektrycznego					1,0	1,3	0,7
7. /*	2400,0	2483,5	RLAN	0,1	0,1	0,1	0,1
	5150,0	5350,0	RLAN	< 0,1	0,0	0,0	0,0
	5470,0	5725,0	RLAN	0,1	0,1	0,1	0,1
Wartość średniokwadratowa natężenia pola elektrycznego					0,1	0,1	0,1

/* Pion pomiarowy zlokalizowany pod punktem dostępowym lub w bezpośrednim sąsiedztwie

1	2	3	4	5	6	7	8
Lok.	F1	F2	Wykorzystanie częstotliwości	E _{zm}	E	E+U%	E-U%
	[MHz]	[MHz]		[V/m]	[V/m]	[V/m]	[V/m]
8.	2400,0	2483,5	RLAN	0,2	0,2	0,3	0,1
	5150,0	5350,0	RLAN	< 0,1	0,0	0,0	0,0
	5470,0	5725,0	RLAN	< 0,1	0,0	0,0	0,0
Wartość średniokwadratowa natężenia pola elektrycznego					0,2	0,3	0,1
9.	2400,0	2483,5	RLAN	0,4	0,4	0,5	0,3
	5150,0	5350,0	RLAN	< 0,1	0,0	0,0	0,0
	5470,0	5725,0	RLAN	< 0,1	0,0	0,0	0,0
Wartość średniokwadratowa natężenia pola elektrycznego					0,4	0,5	0,3
10. /*	2400,0	2483,5	RLAN	0,2	0,2	0,3	0,1
	5150,0	5350,0	RLAN	< 0,1	0,0	0,0	0,0
	5470,0	5725,0	RLAN	< 0,1	0,0	0,0	0,0
Wartość średniokwadratowa natężenia pola elektrycznego					0,2	0,3	0,1
11.	2400,0	2483,5	RLAN	0,2	0,2	0,3	0,1
	5150,0	5350,0	RLAN	< 0,1	0,0	0,0	0,0
	5470,0	5725,0	RLAN	< 0,1	0,0	0,0	0,0
Wartość średniokwadratowa natężenia pola elektrycznego					0,2	0,3	0,1
12.	2400,0	2483,5	RLAN	0,4	0,4	0,5	0,3
	5150,0	5350,0	RLAN	< 0,1	0,0	0,0	0,0
	5470,0	5725,0	RLAN	< 0,1	0,0	0,0	0,0
Wartość średniokwadratowa natężenia pola elektrycznego					0,4	0,5	0,3
13.	2400,0	2483,5	RLAN	0,6	0,6	0,8	0,4
	5150,0	5350,0	RLAN	0,1	0,1	0,1	0,1
	5470,0	5725,0	RLAN	< 0,1	0,0	0,0	0,0
Wartość średniokwadratowa natężenia pola elektrycznego					0,6	0,8	0,4
14. /*	2400,0	2483,5	RLAN	1,2	1,2	1,6	0,9
	5150,0	5350,0	RLAN	0,1	0,1	0,1	0,1
	5470,0	5725,0	RLAN	< 0,1	0,0	0,0	0,0
Wartość średniokwadratowa natężenia pola elektrycznego					1,2	1,6	0,9
15.	2400,0	2483,5	RLAN	0,4	0,4	0,5	0,3
	5150,0	5350,0	RLAN	0,1	0,1	0,1	0,1
	5470,0	5725,0	RLAN	< 0,1	0,0	0,0	0,0
Wartość średniokwadratowa natężenia pola elektrycznego					0,4	0,5	0,3
16.	2400,0	2483,5	RLAN	0,4	0,4	0,5	0,3
	5150,0	5350,0	RLAN	0,1	0,1	0,1	0,1
	5470,0	5725,0	RLAN	< 0,1	0,0	0,0	0,0
Wartość średniokwadratowa natężenia pola elektrycznego					0,4	0,5	0,3
17.	2400,0	2483,5	RLAN	0,6	0,6	0,8	0,4
	5150,0	5350,0	RLAN	< 0,1	0,0	0,0	0,0
	5470,0	5725,0	RLAN	< 0,1	0,0	0,0	0,0
Wartość średniokwadratowa natężenia pola elektrycznego					0,6	0,8	0,4

/* Pion pomiarowy zlokalizowany pod punktem dostępowym lub w bezpośrednim sąsiedztwie

Opis pól w Tabeli D.1:

1. Lok. – oznaczenie punktu pomiarowego;
2. E_{zm} – zmierzona wartość natężenia pola elektrycznego w zakresie częstotliwości;
3. E – wartość przyjęta do obliczeń;
4. $E-U\%$ – minimalna wartość natężenia pola elektrycznego E z uwzględnieniem rozszerzonej niepewności pomiaru;
5. $E+U\%$ – maksymalna wartość natężenia pola elektrycznego E z uwzględnieniem rozszerzonej niepewności pomiaru.

Niepewność pomiarów: zgodnie z Tabelą 4 w p. 12 sprawozdania.

Wartości graniczne: Dopuszczalna wartość skuteczna natężenia pola elektrycznego w miejscach dostępnych dla ludności w zakresie częstotliwości od 300 MHz do 300 GHz wynosi 7 V/m.

Wniosek: Zmierzone, w trakcie pomiarów selektywnych częstotliwościowo, wartości natężenia pola elektrycznego, a także średniokwadratowe natężenie pola elektrycznego obliczone z uwzględnieniem oszacowanej rozszerzonej niepewności pomiaru, w punktach od 1 do 17 przedstawionych na Rys. 1a ÷ Rys. 1c, nie przekraczają wartości dopuszczalnej w miejscach dostępnych dla ludności.

Wykaz użytej aparatury: 1, 2a, 2b.

----- Koniec Załącznika nr 1 -----

Badania wykonali:

T.Górdzialek



J. Kalina

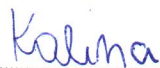


J.Wierzbicka



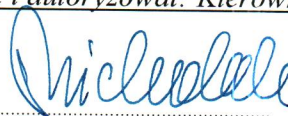
Załącznik sporządziła:

J. Kalina



Sprawdził, zatwierdził i autoryzował: Kierownik LB-EMC:

M. Michalak



ZAŁĄCZNIK NR 2

Fotografia punktu dostępowego badanej sieci RLAN



Fot. 1: Widok punktu dostępowego model AX411
